

9. Investigation and Application of Polarographic Catalytic Wave of Oxygen Reduction Caused by Mefenamic Acid / J. F. Song, W. Guo, X. F. Kang, Y. Hu // Sci. China. – 2003. – Vol. 36. – P. 906–911.
10. Jagota N. Separation of non-steroidal anti-inflammatory agents using supercritical fluid chromatography / N. Jagota, J. Stewart // J. Chromatogr. – 1992. – Vol. 604, № 3. – P. 255–260.
11. Khuhawar M. Y. Indirect determination of mefenamic acid by atomic absorption spectrometry / M. Y. Khuhawar, T. M. Jehangir, F. M. A. Rind // J. Chem. Soc. Pakistan. – 2001. – Vol. 23. – P. 226–228.
12. Liquid chromatography method for determination of mefenamic acid in human serum / M. R. Rouini, A. Asadipour, Y. H. Ardakani, F. Aghdasi // J. Chromatogr B Analyt Technol Biomed Life Sci. – 2004. – Vol. 800, № 1–2. – P. 189–192.
13. Liu L. Voltammetric determination of mefenamic acid at lanthanum hydroxide nanowires modified carbon paste electrodes / L. Liu, J. Song // Anal. Biochem. – 2006. – Vol. 354. – P. 22–27.
14. Moody G. J. Modified poly(vinyl chloride) matrix membranes for ion-selective field effect transistor sensors // G. J. Moody, J. D. R. Thomas, J. M. Slater // Analyst. – 1988. – Vol. 113. – P. 1703–1707.
15. Santini A. O. Development of a potentiometric mefenamate ion sensor for the determination of mefenamic acid in pharmaceuticals and human blood serum / A. O. Santini, H. R. Pezza, L. Pezza // Sensors and actuators B. – 2007. – Vol. 128. – P. 117–123.
16. Simultaneous determination of arylpropionic acidic non-steroidal anti-inflammatory drugs in pharmaceutical formulations and human plasma by HPLC with UV detection / Y. Sun, K. Takaba, H. Kido, N. Nakashim et all. // J Pharm Biomed Anal. – 2003. – Vol. 30, № 5. – P. 1611–1619.
17. Simultaneous determination of non-steroidal anti-inflammatory drugs in river water samples by liquid chromatography-tandem mass spectrometry using molecularly imprinted polymers as a pretreatment column / K. Hoshina, S. Horiyama, H. Matsunaga, J. Haginaka // J. Pharm. Biomed. Anal. – 2011. – Vol. 55, № 5. – P. 916–922.
18. Simultaneous spectrophotometric determination of mefenamic acid and paracetamol in pharmaceutical preparations / S. Das, S. C. Sharma, S. K. Talwar, P. D. Sethi // Analyst (London). – 1989. – Vol. 114, № 1. – P. 101–103.
19. The non-aqueous determination of selected anti-inflammatory agents using tetrabutylammonium hydroxide as titrant / O. Cakier, E. Kilie, O. Atkol, A. Kenar // J. Pharm. Biomed. Anal. – 1999. – Vol. 20. – P. 19–26.
20. United States Farmacopea National Formulary, USP 26, NF21 // Rockville. – 2003. – P. 1141.

Кормош Жолт, Матвійчук Оксана. Розробка и применение ПВХ-электрода для потенциометрического определения мефенаминовой кислоты. Разработан новый мефенамат-селективный электрод, содержащий как электроактивное вещество ионный ассоциат мефенамат метилового фиолетового. Интервал линейности электродной функции разработанного электрода находится в пределах $3 \cdot 10^{-4}$ – $1 \cdot 10^{-2}$ моль/л, крутизна – 85,4 мВ/пС. Разработана и апробирована новая методика потенциометрического определения мефенаминовой кислоты в лекарственных формах.

Ключевые слова: ион-селективный электрод, мефенаминовая кислота, фармацевтический анализ.

Kormosh Zholt, Matviychuk Oksana. Development and Application of PVC Electrode for Potentiometric Determination of Mefenamic Acid. A new mefenamat-selective electrode containing both a elektroaktiv substance the ion associate of methyl violet mefenamat. Interval linear electrode function developed electrode is within $3 \cdot 10^{-4}$ – $1 \cdot 10^{-2}$ mol/L, with a slope – 85,4 mV/pC. It developed and tested a new method of potentiometric determination of mefenamic acid in the dosage forms.

Key words: Ion-Selective Electrode, Mefenamic Acid, Pharmaceutical Analysis.

Східноєвропейський національний університет
імені Лесі Українки

Стаття надійшла до редколегії
20.12.2013 р.

УДК 543.63

Ірина Антал

Хроматографические методы определения триптанов: обзор

Обобщены сведения о методах определения триптанов в различных объектах. Среди описанных в литературе методов идентификации и количественного определения триптанов выделяются, прежде всего, разные

варианты хроматографии. Приведены хроматографические условия, важнейшие химико-аналитические и метрологические характеристики методик определения триптанов в фармацевтических препаратах и биологических образцах.

Ключевые слова: триптаны, хроматография.

Триптаны – новая группа эффективных противомигренозных препаратов, которая была создана в 90-х годах. К ним относят: алмотриптан (АЛМО), золмитриптан (ЗОЛМИ), наратриптан (НАРА), суматриптан (СУМА), ризатриптан (РИЗА), фроватриптан (ФРОВА) и элетриптан (ЭЛЕ). За прошедшее десятилетие во многих странах Европы, в США, Японии и России были проведены десятки многоцентровых клинических исследований эффективности и безопасности этих препаратов. Поэтому неудивительным является интерес к разработке новых аналитических методик определения триптанов на разных этапах приготовления и контроля качества лекарственных форм, а также для их концентрирования и определения в сложных биосистемах [1–4].

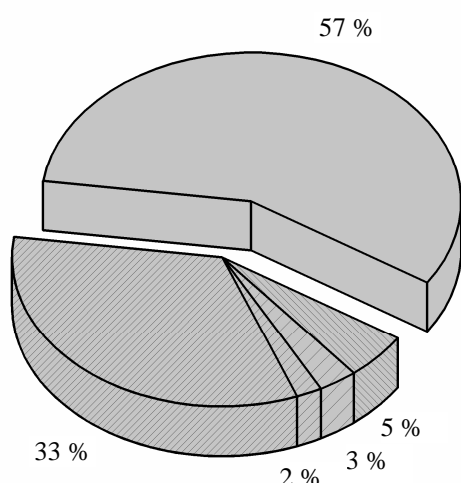


Рис. 1. Методики определения триптанов:
57 % – хроматографические,
33 % – спектрофотометрические,
5 % – электрохимические,
3 % – флуоресцентные, 2% – другие

содержащих триптаны, наиболее часто используют ВЭЖХ со спектрофотометрическим детектированием сигнала в ультрафиолетовой области [5–42], с изократическим [9; 27; 28; 39; 41; 43] или градиентным элюированием [15; 22; 40; 44] в нормально [9; 10; 14; 28; 36; 37; 39; 45–47] и обратно-фазовом вариантах [5–7; 11; 13; 15; 17; 18; 23; 25–27; 30; 31; 33–35; 43; 48].

Определение наноколичеств триптанов в биообъектах обычно осуществляют чувствительным методом ВЭЖХ с масс-спектрометрическим детектированием сигнала [57–61], иногда дополнительно используя индуктивно связанную аргоновою плазму (ВЭЖХ-ИСП/МС) [38; 40; 49; 50–52]. В качестве внутренних стандартов методом ВЭЖХ/МС-МС используют соединения, которые имеют близкие к триптанам физико-химические свойства [40; 50; 53–55], ими часто являются сами триптаны [38; 56; 57; 62] или же их производные [58; 63; 64], что обеспечивает одинаковое поведение стандарта и вещества при экстракции и хроматографическом анализе. В качестве внутреннего стандарта при определении алмотриптана использован алмотриптан-д6 [58] и суматриптан [56], элетриптана – наратриптан [57], золмитриптана – дифенгидрамин [54], пароксетин [40] и буфотенин [55], наратриптана – наратриптан-д3 [63], MDL 74967 [64] или суматриптан [38], ризатриптана – ризатриптан-д6 [65], L-743,214 [61] и гранисетрон [50], суматриптана – наратриптан [62], суматриптан-д3 [64], теразосин [53], L-737,404 [61] или MDL 74967 [64].

Флуоресцентное детектирование в методе ВЭЖХ описывают авторы работ [42; 66–68] при определении S- и R- изомеров золмитриптана в крысиной печени [66], а также золми- [42], риза- [68] и суматриптанов [67] в человеческой крови. Известны также методики ВЭЖХ с электрохимическим детектированием сигнала при анализе суматриптана в сыворотке [69–71] и моче [71] в пределах концентраций 1–30 нг/мл [70; 71], а также золмитриптана и его метаболитов (N-десметил- и N-оксида золмитриптана) в крысиной крови [41] в диапазоне содержаний 2–20 нг/мл.

Наиболее распространенными для количественного определения триптанов как в биообъектах, так и в лекарственных формах являются хроматографические методы (рис. 1), в частности высокоэффективная жидкостная хроматография с масс-спектрометрическим (ВЭЖХ/МС) или спектрофотометрическим (ВЭЖХ/УФ) детектированием сигнала. Второе место по использованию принадлежит спектрофотометрическому методу, который так широко распространен, очевидно, ввиду своей доступности, высокой чувствительности, быстроты выполнения, широкого интервала определяемых концентраций и других преимуществ. Эпизодический характер носят флуоресцентные, электрохимические и другие методы.

Настоящий обзор содержит сведения об опубликованных в мировой литературе за последние 20 лет хроматографических методиках определения триптанов в разных объектах. Приводятся краткие описания методик, их преимущества и недостатки, химико-аналитические и метрологические характеристики (табл. 1).

При анализе фармацевтических препаратов (ФП),

Таблиця 1

Хроматографические методы определения триптанов

Опреде- ляемые вещества	Анализи- руемый объект	Тип хроматографии / детектор; условия	Хроматографические условия			Метрологические параметры		Интервал
			подвижная фаза / pH	колонка, мкм; длина	скорость потока, мл/мин	линейность градирковой функции, мкг/мл	предел обнаружения / определения, мкг/мл	
АЛМО	2	3	4	5	6	7	8	9
	ФП	ВЭЖХ/УФ; λ , нм 227	фосфатный буфер – ацетонитрил (80:20) / 3,2	Phenomenex Gemini C18 (250×4; 5)	1,5	1,0–10,0	0,03 / 0,1	[5]
	ФП, субстанция	230	триэтиламин – ацетонитрил – метanol (05:55:40) / 6,2	Kromosil C18 (250×4; 6; 5)	1,0	10–60 ppm	0,05 / 0,15	[7]
АЛМО и примеси	ФП	227	метанол – вода – уксусная кислота (4:8:0,1)	Thermo Scientific C18 (250×4; 6; 5)	1,0	5–60	0,025 / 0,075	[6]
АЛМО, ЭПЕ, РИЗА, в присутствии продуктов деградации	ФП	227	фосфатный буфер – ацетонитрил (80:20) / 7,6	Phenomenex Gemini C18 (250×4; 6; 5)	1,5	1,5 нг/мл – 0,15 мкг/мл	0,024 / 0,022, 0,075 / 0,79, 0,75 / 0,075 нг/мл	[43]
	ФП, субстанция	233	фосфатный буфер – метанол – ацетонитрил (2:1:1) / 3	Hypersil C18 (250×4 см; 5)	2	10–200, 10–200, 10–180	2,66 / 8,85, 1,19 / 3,96, 1,33 / 4,44 мкг	[77]

Продолжение таблицы 1

1	2	3	4	5	6	7	8	9
АЛМО	плазма человека	ВЭЖХМС-МС; m/z 336,1–201,1	аммоний фор- мнатный буфер – ацетонитрил (50:50) / 4,5	Zorbax SB C18 (4,6×75, 3,5)	0,5–150,0 нг/мл	0,2 / 0,5 нг/мл	[58]	
АЛМО и метаболиты	плазма, кал и моча крыс	ЖХ-ИСП/МС-МС; m/z 336, 368, 282	аммоний ацетат – ацетонитрил (60:40) / 3,5	Lichrospher RP-18 (250×4,6, 5)	1,0 нг/мл	– / 1,43 нг/мл	[56]	
	ФП, субстанция	ВЭЖХУФ; λ, нм 225	фосфатный буфер – метанол (80:20)	Agilent XDB C18 (150×4,6, 5)	1 нг/мл	0,03–150	– / 0,03	[33]
ЗОЛМИ	ФП	225	ацетонитрил – фосфатный буфер (10:90) / 3,5	ОФ C18 (–)	1,5 нг/мл	10–50	– / –	[34]
		225	триэтиламин – аце- тонитрил – аммоний дигидрофосфат (28,2:25:46,8) / 3,2	ОФ C18 (250×4,6, 5)	1,0 нг/мл	3–11 ppm	0,15 / 0,5	[35]
		250	этанол: A – метанол, B – тетрабутил- аммония (50:50) / 3,4	Hypersil ODS C18 (250×4,6, 5)	0,8 нг/мл	1–100	0,2687 / 0,8134	[79]
ЗОЛМИ и метаболиты	ФП	ВЭЖХУФ; λ, нм 225	фосфатный буфер – раствор аммония / 9,85	Xterra RP C18 (250×4,6, 5)	0,8 нг/мл	0,01–10	0,06 / 0,2	[47]
ЗОЛМИ и примеси	ФП	225	гексан – изопро- панол – метанол – диэтиламин (75:10:15:0,1)	Chiralpak AD-H (250×4,6, 5)	1 нг/мл	250–1000, 250–1500, 1000–5000	250 / 300, 1000 / 1000 нг/мл	[36]
		225	формикат аммония (содержащий 0,1 % n-пропиламина) – ацетонитрил (80:20)	Waters XTerra C18 (250×4,6, 5)		10–1000, 150–1500, 600–1500	50 / 150, 50 / 150, 200 / 600 нг/мл	[39]

Продовження таблиці 1

1	2	3	4	5	6	7	8	9
ЗОЛМИ и примеси	ФП	229 225	ацетонитрил – фосфатний буфер (25:75) / 7,5 А: KOH – метанол (90:10); В: ацетонитрил – буфер – метанол (70:24:6) / 9,85	CLC-C(8) (150×6; 10) Waters Xterra RP18 (250×4,6; 5)	1 1,2	4–40 0,01–10	0,5 нг / – 0,06 / 0,2	[46] [47]
Энантиомери ЗОЛМИ	субстанция	240	гексан – этанол (70:30)	Chiralpak AD-H (250×4,6; 5)	1	750–5000 нг/МЛ	250 / 750 нг/МЛ	[37]
ЗОЛМИ и примеси	–	Ультра-ВЭЖХУФ 220–225	А: калій дигидро-ген фосфат – натрій 1-гексансульфонат; В: ацетонитрил / 2	Ascentis Express Phenyl- Hexyl (100×3,0; 2,7 мкМ)	0,8	–	0,057 / 0,173	[44]
ЗОЛМИ	ФП, плазма	240	ацетонитрил – уксусна кислота (10:90) / –	Nucleodur C18 (250×0,46; 5)	–	0,25–40 мкг/Л	–	[60]
R- и S-3QПМИ	плазма человека	ВЭЖХ/Флуоресценции; $\lambda_{\text{П}}/\lambda_{\text{Ф}}$, 225/360	триэтиламин в воді – ацетонітрил (92:8) / 2,75	Inertsil ODS-3 (4,6×200; 5)	1,5	0,2–40 нг/МЛ	20 / 40 нг	[42]
ЗОЛМИ и метаболиты	микросоми печени крыс	291/350	гексан – изопропано- нол – триэтиламін (72:28:0,25), 7,4	Chiralpak AD-H (250×0,46; 5)	0,8	0,1–5,0	– / 0,1	[66]
ЗОЛМИ	плазма кріс	ВЭЖХ-Кулоно- метрический	калій фосфатний буфер – ацето- нитрил (87:13) / 3,5	Phenomenex ODS/CN C8 (250×4,1; 5)	1	2–20 нг/МЛ	0,5 нг / –	[41]
ЗОЛМИ	спинно- мозговая жидкость, плазма кріс	ВЭЖХ-ИСП/МС-МС; M_z 288	вода – ацетонитрил – муравьина кислота	Luna HST C18 (100×2,0; 2,5)	0,15	< 5 < 1,44	6,6 / 11, 24,4 / 44,2 нг/МЛ	[51]
ЗОЛМИ и примеси	субстанция	ЖЖХУФ; $\lambda = 225$ нм	фосфатний буфер – метанол – ацетони- трил А (70:20:10), Б (30:70) / 9,85	Waters X Terra RP18 (250×4,6; 5)	1	25–150	–	[73]

Продолжение таблицы 1

1	2	3	4	5	6	7	8	9
ЗОЛМИ человека	плазма человека	ЖСХ и ЖХ/МС-МС; m/s 288-58	ацетонитрил – вода – муравьиная кислота (70:30; 0,5)	Security Guard C18 (150×4,6; 5)	0,5	0,05–30 нг/мл	– / 0,05 нг/мл	[54]
ЗОЛМИ и метаболиты	плазма человека	ЖСХ-ИСП/МС-МС; m/s 288,10	метанол – вода (78:22) / 4	Lichrospher CN (150×2,0; 5)	0,2	0,30–16,0 нг/мл	0,10 / 0,30 нг/мл	[52]
НАРА, продукты деградации	ФП	288,06-57,99, 274,09-181,86	ацетонитрил – аммоний ацетат – муравьиная кислота (50:50:0,053)	ХTerra RP18 (1000×3,0; 3,5)	0,25	0,25–20 нг/мл	– / 0,25 нг/мл	[40]
НАРА	ФП	Ультра-ВЭЖХ/УФ; $\lambda = 220-225$ нм	вода – ацетонитрил (60:40) / 3,4	Accuity UPLC BEH C18 (50×2,1; 1,7)	0,3	10–50	0,5 / 1	[15]
Одновр. опр. НАРА, РИЗА, СУМА и ЗОЛМИ	плазма человека	ЖХ и ЖХ/МС-МС; m/s 336,5-98,0	муравьиная кис- лота – ацетонитрил (50:50)	Zorbax SB-C18 (75×4,6; 3,5)	0,6	0,1–25,0 нг/мл	0,05 пг/мл	[63]
РИЗА	ФП, субстанция	ЖСХ-ИСП/МС-МС; 336,10-98,06,	уксусная кислота – ацетонитрил (15:85)	ACE C18 (150×2,6; 5)	0,4	103–20690 пг/мл	0,5 / 103 пг/мл	[38]
РИЗА	ФП, субстанция	58, 98; 58; 201	аммоний ацетат – метанол – ацетонитрил (80:10:10) / 2,7	Alltech Solvent Miser Silica (150×2,1; 5)	0,3	1–100 нг/мл	250 / – пг/мл	[55]
РИЗА и примеси	ФП	ВЭЖХ/УФ; λ , нм 225	фосфатный буфер – ацетонитрил – ме- танол (8:58:34) / 5,5	Inertsil ODS 3V (250×4,6; 5)	1,0	0,85–35	0,25 / 0,75	[17]

Продовження таблиці 1

1	2	3	4	5	6	7	8	9
Одновр. опр. РИЗА, СУМА, ЗОЛМІ	субстанція	280	ацетонітрил – фосфатний буфер / 2,5	Stainless steel C18 (4,6×250; 5)	1,0	100–300	0,2 / 2, 0,2 / 2, 0,1 / 2	[48]
РИЗА і примеси	субстанція	Ультра-ВЭЖХ/УФ; $\lambda = 220\text{--}225 \text{ нм}$	калій дигидроген ортофосфат – триетиламін / 3,0	ВЕН C18 (100×2,1; 1,7)	0,3	–	–	[21]
РИЗА	моча, плазма	ВЭЖХ/МС-МС; $m/z 270\text{--}201, 275\text{--}201$	ацетонітрил – метанол – вода (58,5:3,5:38,0) / 7,4	Spherisorb CN (10×4,6; нг/мл)	0,6	0,1–100 нг/мл	– / 0,1, – / 0,5 нг/мл	[59]
ФІІ	плазма чоловіка	ВЭЖХ/Флуоросценція; $\lambda_T/\lambda_{\Phi} = 225/360$	триетиламін в воді – ацетонітрил (92,8) / 2,75	Inertsil® ODS-3 (200×4,6; 5)	1,2	0,5–50 нг/мл	0,5 нг/мл	[68]
РИЗА і примеси	субстанція	ЖХ/УФ; λ , нм 225	ацетонітрил – буфер / 6,5	Inertsil ODS 3V (250×4,6; 5)	1,0	30–70	– / –	[19]
РИЗА 1,2- і 2,2-димеры	субстанція	ЖХ/УФ; λ , нм 225	фосфатний буфер – метанол (80:20) / 3,5	Perfectsil C18 (250×4,6; 5)	1,0	1000–7000	20 / 70	[20]
РИЗА	плазма чоловіка	ЖХ/МС; $m/z 800\text{--}1000$	A – ортофосфатна кислота, Б – ацетонітрил / 3,4 В – метанол / 3,4	Agilent Zorbax SB-CN (250×4,6; 5)	1,0	125–750	0,04–0,06 %	[22]
		220	уксусна кислота – ацетонітрил (98:2), вода – ацетонітрил (70:30) /	Inertsil ODS (250×20; 8); Hypersil C-18 (500×30; 10)	30 25	–	–	[24]
		225	амоній формінат / 2,4	YMC Pack ODS-A (250×4,6; 5)	1,0	0,077–0,761, 0,075–0,761 (% w/w)	0,005 / 0,019, 0,003 / 0,015	
		270	ЖХ/МС-МС; m/z 270,2–201,2	Ascentis Express RP Amide C18 (50×4,6; 2,7)	0,5	0,1–100,0 нг/мл	12,5 філ/мл / 0,1 нг/мл	[65]
		270–201	ацетонітрил – вода – уксусна кислота (30:70:1)	Zorbax XDB C8 (150×4,6; 5)	0,35	0,5–400 нг/мл	– / 50 пг/мл	[80]

Продовження таблиці 1

1	2	3	4	5	6	7	8	9
РНЗА	плазма человека	270–201	ацетонитрил – аммоний ацетат – уксусная кислота (50:50:0,5)	Lichrospher C18 (4,6×50; 5)	1,0	0,05–50 нг/мл	– / 0,05 нг/мл	[50]
	ВЭЖХ/УФ; λ, нм 223	227	триэтиламин – аце- тонитрил (95:5) / 3,0 (80:20) / 6,0	ODS C18 (–)	–	–	–	[26]
ФП		227	фосфатный буфер – ацетонитрил (65:35) / 4	Hypersil C8 (250×4,6; 10)	1,4	–	–	[25]
		230	ортофосфорная кис- лота – ацетонитрил (80:20) / 3,5	Thermo Hypersil C4 (250×4,6; 5)	1	25–600 нг/мл	10 / 25 нг/мл	[27]
		228	аммоний фосфат – ацетонитрил (78:22) / 3,7	Ascentis® Si (250×2,1; 5,0)	1	50–1050 нг/мл	11 / 35 нг/мл	[28]
СУМА	плазма, мозг крысы	228	одноосновный фосфат аммония – ацетонитрил (84:16) / 7,4	ODS Hypersil (250×4,6; 10)	1	3–2000, 3–10000 нг/л	1 / 3 нг/мл	[45]
	глаза, кожа свиньи	282,7	одноосновный фосфат аммония – ацетонитрил (80:20) / 6,0	Kromasil C18 (250×4,0; 5)	0,145–145 мкМ	0,019 / 0,145 мкМ	0,000075 / 0,000125	[81]
	ниросомы	214	фосфатный буфер – ацетонитрил (84:16) / 3,3	Spherasorb OSD2 C18 (250×4,6; 5)	1	–	0,000075 / 0,000125	[82]
	поверхность оборудо- вания	228	одноосновный фосфат аммония – ацетонитрил (80:20) / 6,5	LUNA C18 (150×4,6; 4)	–	0,009–14	3 / 9 нг/мл	[83]
одновр. опр. СУМА и напроксена	ФП	ВЭЖХ/УФ; λ, нм 235	фосфатный буфер – ацетонитрил (60:40) / 6,5	Hypersil BDS C18 (100×4,6; 5)	1	125–750, 20–120	0,54071,6387, 2,95438,9526	[30]

Продовження таблиці 1

1	2	3	4	5	6	7	8	9
одновр. опр. СУМА и напроксена	Комбіниро- ванніле ФП	284	калій дигидро- генфосфат – ацетонітрил (25:75) / 3,5	XTerra C18 (150×4,6; 3,5)	0,8	30–70, 20–70	3 / 10,2, 2,99 / 10,05	[33]
	ФП, субстанція	229	ацетонітрил – ме- танол – фосфатний буфер (50:10:40) / 6	Phenomenex- Gemini C18 (250×4,6; 5)	1	1–5	0,17 / 0,53, 0,18 / 0,53	[32]
			метанол – вода (20:80) / 5 аммоній аметат	Zorbax SB-C18 (50×4,6; 5)	1	1–100 нг/мл	– / –	[84]
СУМА	плазма человека	296,0–251,0	метанол – вода – муравинна кислота (90:10:0,1)	Partisil C8 (4,6×100; 5)	0,3	0,7–70,4 нг/мл	– / 0,7	[85]
		296	ацетонітрил – метанол – вода (54:4:42) / 5	Beckman CN (250×4,6; 5)	1,2	1,03–10,3 нг/мл	– / 0,5 нг/мл	[61]
			вода – ацетони- трил – муравинна кислота (83:17:0,1)	BEH C18 (50×2,1; 1,7)	0,2	0,5–50 нг/мл	– / 0,5 нг/мл	[53]
одновр. опр. СУМА и напроксена	плазма человека	296,2–58,1; 231,1–185,1	метанол – ацетонітрил – аммоній ацетат (70:10:20) / 4,8	BEH C18 (50×2,1; 1,7)	0,25	0,050–100 нг/мл	0,050 / – нг/мл	[62]
СУМА	плазма человека	ВЭЖХ/Флуоресценція; $\lambda_{\text{пр}}/\lambda_{\text{ф}}$, 225/350	ацетонітрил – одноосновний фосфат калія (60:40) / 7,5	Zorbax C18 (150×4,6)	1	1–100 нг/мл	– / 1	[67]
	моча		фосфатний буфер – калій дигидроген ортофосфат (5,25:2,79 g) / 7	Spherisorb ODS-1 (125×4,6; 5)	1	1–30 0,2–12 нг/мл	0,7 / –	[71]
СУМА и метаболиты	моча человека		фосфатний буфер – метанол (35:65) / 7,0	Spherisorb ODS-1 (100×4,6; 5)	1	1–30 нг/мл	– / –	[70]

Продолжение таблицы 1

1	2	3	4	5	6	7	8	9
СУМА ФП	плазма	ВЭЖХ-Кулонометрический	фосфат калия – метанол (55:45) / 6,6	mixed-mode (CN-C ₁₈) (250×4,6; 5)	1	0–100 нг/мл	– / 0,25 нг	[69]
		ЖХГУФ; λ, нм 232	ацетонитрил – вода (18:82); 0,05 % трифтогруксусная кислота	Purospher® (250×4,6; 5)	1	10–50	0,9 / 2,72	[29]
	моча, плазма человека	ЖХ и ЖХ/МС-МС; m/z 296-58	аммоний ацетат – метанол (85:15) / 7	C18 Prodigy (30×4,6; 5)	1,0	0,2–20 нг/мл	0,2 нг/мл	[86]
СУМА продукты деградации СУМА	плазма	ЖХ и ЖХ/МС-МС; m/z 296	метанол – аммоний ацетат (60:40)	Partisphere C18 (110×4,6; 5)	1	2–50 нг/мл	– / 2	[87]
MDL 74.721; СУМА и Нара	ФП	50–400	ацетонитрил – ме- танол (6:1) / 0,1 % уксусная кислота	Brownlee ethylsilane (220×4,6; 10)	0,6	–	–	[88]
СУМА и продукты деградации	плазма	339,1; 296,1; 336	аммоний ацетат – ацетонитрил: A (90:10); B (20:80)	Nova-Pak C18 (150×2; 4,0)	0,5	0,25–50 нг/500 мл	–	[64]
ФРОВА разделение S- и R-изомеров	ФП	TCXГУФ; λ = 228 нм	циклогексан – ди- хлорметан – ди- этиламин (50:40:10)	20×20 см, 0,25 см	–	1,00–8,00 мкг/каплю	0,50 / 0,80	[78]
	плазма крыс	230	ацетонитрил – метанол (80:20) / 5,6	Kromosil C18 (250×4,6; 5)	1,0	0,2–1,0 ppm	0,02 / 0,05	[13]
ФРОВА		224	аммоний ацетат – ацетонитрил (94:6) / 4	Hypersil BDS C18 (10×4,6; 4)	1,0	10–5000 нг/мл	0,02 / 10	[89]
		–	дигидроген орто- фосфатный буфер – метанол (9:2:8)	Chiral-CBH	0,6	–	–	[76]
ФРОВА	ФП	245	н-гексан – этанол – диэтиламин (70:30:0,5) / 8,5 и 7,0	Chiralpak AD- H (250×10)	3,0	200–6150 нг/мл	65 / 200 нг/мл	[14]

Окончание таблицы 1

1	2	3	4	5	6	7	8	9
ЭЛЕ субстанция	ФП, субстанция	ВЭЖХУФ; λ , нм 221	Метанол – аммоний асетатный буфер (60:40) / 6,0	Phenomenax Luna C18 (ODS) (250×4,6; 5)	5–30 МГ/МП	0,6327 / 1,963 МГ/МП	[8]	
ЭЛЕ и метаболиты	плазма, спона	225	ацетонитрил – фосфатный буфер – вода (30:64) / 3,5	Kromasil C1 (100×4,6; 5)	1,0 НГ/МП	0,50–250	–	[9]
ЭЛЕ и примеси	ФП	225	триэтиламин – Метанол (67,2:32,8) / 6,8	ХТера™ C18 (150×4,6; 5)	1,0 НГ/МП	0,05–1,00 0,10–1,50 МГ/МП	5 / 10 ± 1,4, 10 / 30 ± 2,65	[11]
S-изомер ЭЛЕ	субстанция	223	гексан – этанол	Chiraldak AD	–	«→»–1,5	–	[75]
ЭЛЕ и примеси	субстанция	Ультра-ВЭЖХУФ; λ = 220–225 нм	калий фосфат с триэтиламином – ацетонитрил – Метанол (55:38:7) / 6,8	Halo C18 (50×4,6; 2,7)	1,0	0,16–0,24	0,49 / 0,74	[12]
ЭЛЕ	ФП	ЖЖГУФ; λ = 225 нм	ацетонитрил – триэтиламин (60:40) / 7	Waters Symmetry C18 (250×4,6; 5)	1,0	0,1–1,6	0,05 / 0,1	[10]
ЭЛЕ, примеси	плазма человека	ВЭЖХ/МС-МС; M_r 's 383,2-84,3	муравьинная кислота – метанол (40:60)	Ascentis Express C18 (50×4,6; 2,7)	0,5 НГ/МП	0,5–250,0 НГ/МП	2,5 фг / 0,5 НГ/МП	[57]
		ЖЖХ и ЖХ/МС-МС; M_r 's 100–2000	метанол – триэтил- амин (30:70) / 6,52; ацетонитрил – муравьинная кислота (5:95 к 95:5)	ХТера™	(150×3,9; 5); C18 Zorbax Eclipse plus (150×4,6; 1,8)	1,0 1,4 0,05–0,50	25,00–250,00, 0,02 / 0,07, 01 / 0,04	[72]

Помимо раздельного определения триптанов, методы ВЭЖХ широко используются для одновременного определения их с примесями [11; 12; 21–23; 36; 37; 39; 44; 46; 68; 72–74] или метаболитами, например алмотриптана и метаболитов сульфонамида и аминомасляной кислоты в плазме, кале и моче крыс [56], элетриптана и UK-135,800 в плазме и слюне [9], золмитриптана и индолуксусной кислоты, N-оксид и N-десметил аналогов в плазме [40; 41], суматриптана и GR49336 в моче [70].

Учитывая то, что разные энантиомеры триптанов обладают разным действием на организм, в литературе описаны методы хиральной жидкостной хроматографии, которые дают возможность разделить и идентифицировать S- и R-изомеры эле- [75], золми- [37; 66; 71], фроватриптанов [14; 76], часто используя при этом колонки с неподвижными хиральными фазами с привитой амилазой [14; 37; 66; 75] и целлобиогидролазой [76].

Благодаря благоприятному влиянию суматриптана и напроксена на приступы мигрени, часто в клинической практике используют комбинированные формы на их основе. Одновременное определение суматриптана и напроксена в фармацевтических препаратах с использованием ВЭЖХ-УФ на уровне мкг/мл описано в работах [30–32], а в биообъектах с использованием ультраЭЖХ-МС на уровне нг/мл в работе [62]. Одновременное определение различных триптанов встречается также в работах [48; 55; 77].

Известны методики «классической» жидкостной хроматографии (ЖХ) для определения элетриптана в таблетках с использованием изократического элюирования [10], а также ОФЖХ с градиентным элюированием для детектирования золми- [73] и риза- [22] триптанов с их примесями или же 1,2- и 2,2-димеров ризатриптана [24].

В нескольких работах описан вариант тонкослойной хроматографии (ТСХ) с последующим измерением поглощения света в УФ области при 232 нм [77] и 228 нм [78], с помощью которого можно анализировать алмо-, эле-, риза- и suma- триптаны в присутствии продуктов их деградации на уровне 0,314 мкг, 0,751 мкг, 0,310 мкг [77] и 0,50 мкг [78] со значением R_f 0,88, 0,29, 0,35 [77] и 0,17 [78] соответственно.

Преимуществом хроматографических методов является возможность разделения и одновременного экспрессного определения не только триптанов и их примесей [15; 22; 24; 43; 73], но и селективное детектирование противомигренных препаратов в биосистемах [9; 38; 40–42; 45; 50–56; 58; 59; 61–71; 80–82; 84–89]; недостатком – стоимость анализа, а также использование токсичных растворителей.

В завершение следует отметить, что за очень короткое время для определения триптанов разработано огромное количество хроматографических методов. Это объясняется, прежде всего, чрезвычайной медицинской важностью этих относительно новых противомигренных веществ.

Динамику публикаций по хроматографическим методикам определения триптанов в ФП (субстанциях) и биообъектах за последние двадцать лет иллюстрирует рисунок 2.

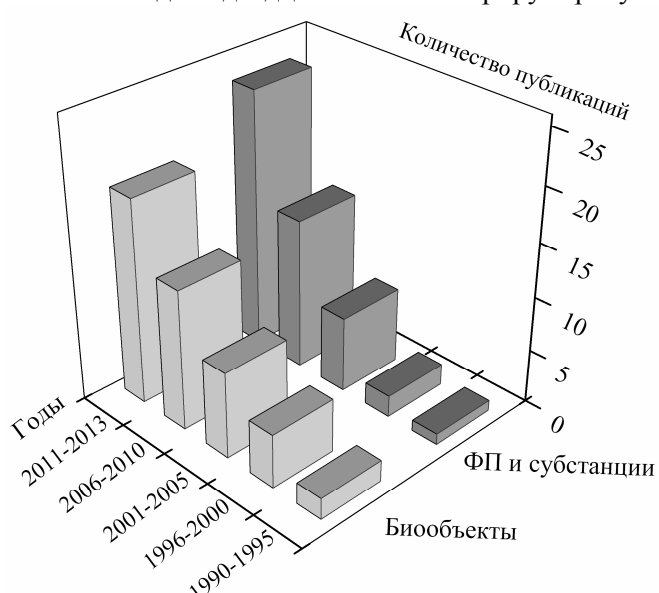


Рис. 2. Динамика розвиття хроматографіческих методик определення триптанов в различных об'єктах

Источники и литература

1. Венгеровский А. И. Фармакология / А. И. Венгеровский. – ГЭОТАР-Медиа, 2012. – 736 с.
2. British Pharmacopoeia. – 2009. – Vol. 2. – 1964 р.
3. European Pharmacopoeia, 6th Edition. – 2008. – Vol. 2. – 3005 р.
4. United States Pharmacopoeia and National Formulary; (24th) Asian Edition, The United States Pharmacopoeia Convention Inc, USA. – P. 2709–3259.
5. Suneetha A. A validated RP HPLC method for estimation of almotriptan malate in pharmaceutical dosage form / A. Suneetha, B. S. Sundar. // J. Chin. Chem. Soc. – 2010. – Vol. 57. – P. 1067–1070.
6. High performance liquid chromatographic analysis of almotriptan malate in bulk and tablets / P. Lavudu, A. P. Rani, C. Divya et al. // Adv. Pharm. Bull. – 2013. – Vol. 3, № 1. – P. 183–188.
7. Kumar P. V. New RP-HPLC method development and validation for analysis of almotriptan / P. V. Kumar, Y. Sunandamma // Int. J. Res. Pharm. Chem. – 2011. – Vol. 1, № 3. – P. 542–545.
8. Kumara S. G. Development and validation of RP-HPLC method for the estimation of Eletriptan hydrobromide in bulk and tablet dosage form / S. G. Kumara, J. M. R. Kumar, J. V. L. N. Sheshagiri Rao // J. Pharm. Res. – 2012. – Vol. 5, № 1. – P. 538–540.
9. Cooper J. D. H. Determination of eletriptan in plasma and saliva using automated sequential trace enrichment of dialysate and high performance liquid chromatography / J. D. H. Cooper, J. E. Muirhead, J. E. Taylor // J. Pharm. Biom. Anal. – 1999. – Vol. 21. – P. 787–796.
10. Sagirli O. LC Assay of eletriptan in tablets and in vitro dissolution studies / O. Sagirli, A. Önal, D. Şensoy // Chromatographia. – 2008. – Vol. 68. – P. 269–273.
11. Validation of an HPLC method for the simultaneous determination of eletriptan and UK 120.413 / M. Zecevic, B. Jocic, S. Agatonovic-Kustrin et al. // J. Serb. Chem. Soc. – 2006. – Vol. 71. – P. 1195–1205.
12. Balaji N. A validated UPLC method for the determination of processrelated impurities in Antimigraine bulk drug / N. Balaji, V. R. Sivaraman, P. Neeraja // IOSR-JAC. – 2013. – Vol. 3, № 4. – P. 20–28.
13. RP-HPLC and spectrophotometry method for the analysis of frovatriptan in formulations / N. U. Rani, R. S. Rao, K. Saraswathi et al. // Int. J. Sci. Innov. Discov. – 2011. – Vol. 1, № 1. – P. 53–61.
14. Chiral separation of Frovatriptan isomers by HPLC using amylose based chiral stationary phase / M. Khan, B. Viswanathan, D. S. Rao et al. // J. Chrom. B. – 2007. – Vol. 846. – P. 119–123.
15. Development and validation of stability indicating assay method for naratriptan by ultra performance liquid chromatography / K. Patel, S. Singh, P. Sahu et al. // Der Pharm. Lett. – 2011. – Vol. 3, № 6. – P. 102–107.
16. Sirisha V. Analytical method development and validation for quantitative estimation of rizatriptan benzoate / V. Sirisha, C. Sreedhar, T. S. Rao // Open Access Sci. Rep. – 2013. – Vol. 2, № 1. – P. 2–4.
17. Venkateshwarlu P. A Validated and simplified RP-HPLC of Rizatriptan benzoate from bulk drugs / P. Venkateshwarlu, S. Gajam // JPBMS. – 2011. – Vol. 8, № 5. – P. 1–4.
18. Estimation of Rizatriptan benzoate by RP-HPLC method in bulk and dosage form / D. Dahiya, B. V. Sumalatha, S. Gaurav et al. // J. Pharm. Res. – 2012. – Vol. 5, № 1. – P. 120–123.
19. Analytical method development and validation of rizatriptan benzoate tablets by RP-LC / N. Kannappan, A. Madhukar, Ganesh et al. // Int. J. Pharm. Tech. Res. – 2009. – Vol. 1, № 4. – P. 1704–1708.
20. Stability indicating reversed-phase high-performance liquid chromatographic method for the determination of rizatriptan benzoate in bulk powder and in pharmaceutical formulations / S. S. Jagtap, C. L. Gopu, K. R. Mahadik et al. // Res. J. Pharm. Biol. Chem. Sci. – 2010. – Vol. 1, № 2. – P. 385–395.
21. UPLC method for the determination of rizatriptan benzoate and its related impurities / Y. K. Reddy, G. V. S. Reddy, K. N. J. Veera et al. // Int. J. Anal. Bioanal. Chem. – 2012. – Vol. 2, № 4. – P. 228–234.
22. Development and validation of a specific stability indicating high performance liquid chromatographic method for rizatriptan benzoate / B. M. Rao, S. Sangaraju, M. K. Srinivasu et al. // J. Pharm. Biomed. Anal. – 2006. – Vol. 41. – P. 1146–1151.
23. A chemometrical approach to optimization and validation of an HPLC assay for rizatriptan and its impurities in tablets / B. Jocić, M. Žečević, Lj. Živanović et al. // Anal. Lett. – 2007. – Vol. 40, № 12.
24. Identification, isolation and characterization of process-related impurities in Rizatriptan benzoate / T. J. S. Raj, Ch. Bharathi, M.S. Kumar et al. // J. Pharm. Biomed. Anal. – 2009. – Vol. 49. – P. 156–162.
25. Shirsat V. A. High performance liquid chromatographic determination of sumatriptan succinate from pharmaceutical preparation / V. A. Shirsat, S. Y. Gabhe, S. G. Deshpande // Ind. Drugs. – 1998. – Vol. 358. – P. 404–407.
26. Singh S. Stability indicating HPLC method for the determination of sumatriptan succinate in pharmaceutical preparations and its application in dissolution rate studies / S. Singh, R. Jain // Indian Drugs. – 1997. – Vol. 34. – P. 527–531.
27. Ravi S. Development and validation of an RP-HPLC-UV method for analysis of sumatriptan succinate in pharmaceutical dosage forms / S. Ravi, Y. Darwis, N. Khan // Acta Chromatog. – 2009. – Vol. 21, № 3. – P. 421–432.

28. Singh L. A validated sensitive liquid chromatographic method for the estimation of sumatriptan succinate in bulk drug and tablet dosage form / L. Singh, S. Nanda, R. Chomwal // Chronicles of yang scientists. – 2011. – Vol. 2, № 1. – P. 37–41.
29. Sagar S. D. Development and validation of reversed-phase high performance liquid chromatographic method for estimation of sumatriptan succinate in pharmaceutical dosage form / S. D. Sagar, P. U. Paresh, S. N. Bhanubhai // Int. J. Drug. Dev. Res. – 2011. – Vol. 3, № 3. – P. 266–269.
30. Swapna Y. A new RP-HPLC method for simultaneous estimation of naproxen and sumatriptan in tablet dosage form / Y. Swapna, G. N. Reddy, C. K. Sekhar // Int. J. Pharm. Biolog. Sci. – 2013. – Vol. 3, № 1. – P. 179–185.
31. Sujana K. Simultaneous estimation of sumatriptan succinate and naproxen sodium by reverse phase HPLC in bulk and pharmaceutical dosage form / K. Sujana, D. G. Sankar, K. Abbulu // IJPSR. – 2012. – Vol. 3, № 9. – P. 3433–3437.
32. Riddhi G. Simultaneous estimation of sumatriptan succinate and naproxen sodium in bulk drug and pharmaceutical dosage form by RP-HPLC method / G. Riddhi, A. Dharamsi // J. Drug. Deliv. Therap. – 2013. – Vol. 3, № 2. – P. 93–97.
33. Kumar G. M. Reversed-phase high-performance liquid chromatographic method for the estimation of zolmitriptan in bulk drug and in pharmaceutical formulations / G. M. Kumar, J. V. L. N. S. Rao, N. Jyothi // Int. J. Pharm. Sci. – 2013. – Vol. 3, № 1. – P. 164–169.
34. A validated RP-HPLC method for the quantification of Zolmitriptan in tablet dosage form / M. R. Nduri, M. B. Raju, Y. R. Prasad et al. // Der Phar. Chem. – 2010. – Vol. 2. – P. 351–357.
35. Validated RP-HPLC method for the estimation of Zolmitriptan in formulation / D. Rambabu, B. Bhoomaiah, R. S. Ch. Phani // Pharmacophore. – 2011. – Vol. 2, № 2. – P. 150–155.
36. A validated chiral LC method for the determination of zolmitriptan and its potential impurities / M. K. Srinivasu, B. M. Rao, G. Sridhar et al. // J. Pharm. Biomed. Anal. – 2005. – Vol. 37. – P. 453–460.
37. A validated chiral LC method for the enantiomeric separation of Zolmitriptan key intermediate, ZTR-5 / M. K. Srinivasu, B. M. Rao, G. Sridhar et al. // J. Pharm. Biomed. Anal. – 2005. – Vol. 39. – P. 796–800.
38. Development and validation of a sensitive and rapid method to determine naratriptan in human plasma by LC-ESI-MS-MS: Application to a Bioequivalence Study / M. Yadav, Ch. Patel, M. Patel et al. // J. Chrom. Sci. – 2011. – Vol. 49. – P. 101–107.
39. A new stability indicating HPLC method for related substances in zolmitriptan / E. K. S. Vijayakumar, M. A. Samel, S. B. Bhalekar et al. // Ind. J. Pharm. Sci. – 2010. – Vol. 72, № 1. – P. 119–122.
40. Simultaneous LCMS-MS determination of zolmitriptan and its active metabolite N-desmethylzolmitriptan in human plasma / B. Kili, T. Özden, S. Toptan et al. // Chromatographia. – 2007. – Vol. 66. – P. 129–133.
41. Clement E. M. Simultaneous measurement of zolmitriptan and its major metabolites N-desmethylzolmitriptan and zolmitriptan N-oxide in human plasma by high-performance liquid chromatography with coulometric detection / M. Clement, M. Franklin // J. Chrom. B. – 2002. – Vol. 766. – P. 339–343.
42. High-performance liquid chromatographic analysis of zolmitriptan in human plasma using fluorescence detection / J. Chen, W. Jiang, X.-G. Jiang et al. // J. Pharm. Biomed. Anal. – 2004. – Vol. 35. – P. 639–645.
43. A validated reversed phase HPLC method for the determination of process-related impurities in almotriptan malate API / A. P. Kumar, V. R. L. Ganesh, D. V. S. Rao et al. // J. Pharm. Biomed. Anal. – 2008. – Vol. 46. – P. 792–798.
44. Identification, preparation and UHPLC determination of process-related impurity in zolmitriptan / M. Douša, P. Gibala, S. Rádl et al. // J. Pharm. Biomed. Anal. – 2012. – Vol. 58. – P. 1–6.
45. HPLC method for the determination of sumatriptan in plasma and brain tissue / R. J. Majithiya, J. B. Majithiya, M. L. Umrethia et al. // Ars. Pharm. – 2006. – Vol. 47, № 2. – P. 199–210.
46. Hu Y. Z. HPLC determination of zolmitriptan and its related substances / Y. Z. Hu, T. W. Yao, X. J. Wang // J. Zhejiang University Scýence. – 2004. – Vol. 33. – P. 37–40.
47. Simultaneous determination of zolmitriptan and its related substances in zolmitriptan tablets 5,0 mg and 2,5 mg / S. Pola, K. Venkataramana, V. A. Kumar et al. // Pharm. Glob. Int. J. Compr. Pharm. – 2012. – Vol. 8, № 5. – P. 1–7.
48. Simultaneous estimation of rizatriptan, sumatriptan and zolmitriptan by RP-HPLC method in bulk / P. V. Sagar, D. Kumar, S. Dey et al. // J. Pharm. Res. – 2010. – Vol. 3, № 12. – P. 2930–2933.
49. Humaira S. Validated UV spectroscopic method for estimation of zolmitriptan from tablet formulations / S. Humaira, N. G. R. Rao, M. R. Munde // Int. J. Biomed. Adv. Res. – 2010. – Vol. 1, № 3. – P. 82–87.
50. Development and validation of a selective and robust LC-MS/MS method for high-throughput quantifying rizatriptan in small plasma samples: Application to a clinical pharmacokinetic study / Y. Chen, H. Miao, M. Lin et al. // J. Chrom. B. – 2006. – Vol. 844. – P. 268–277.
51. Quantitative determination of zolmitriptan in rat blood and cerebrospinal fluid by reversed phase HPLC-ESI-MS/MS analysis: Application to in vivo preclinical pharmacokinetic study / A. Dalpiaz, N. Marchetti, A. Ca-vazzini et al. // J. Chrom. B. – 2012. – Vol. 901. – P. 72–78.

52. Quantification of zolmitriptan in plasma by high-performance liquid chromatography-electrospray ionization mass spectrometry / Z. Zhang, F. Xu, Y. Tian et al. // J. Chrom. B. – 2004. – Vol. 813. – P. 227–233.
53. Rapid determination of sumatriptan in human plasma by ultra performance liquid chromatography-tandem mass spectrometry and its application to clinical pharmacokinetic study / J. J. Seo, J. Park, M. H. Bae et al. // J. Chrom. B. – 2013. – Vol. 919–920. – P. 38–42.
54. Determination of zolmitriptan in human plasma by liquid chromatographytandem mass spectrometry method: Application to a pharmacokinetic study / X. Chen, D. Liu, Y. Luan et al. // J. Chrom. B. – 2006. – Vol. 832. – P. 30–35.
55. Vishwanathan K. Determination of antimigraine compounds rizatriptan, zolmitriptan, naratriptan and sumatriptan in human serum by liquid chromatography/electrospray tandem mass spectrometry / K. Vishwanathan, M.G. Bartlett, J. T. Stewart // Rap. Comm. Mass Spectr. – 2000. – Vol. 14. – P. 168–172.
56. LC-ESI-MS/MS determination of in vivo metabolites of almotriptan in rat plasma, urine and feces: Application to pharmacokinetics / R. R. Nageswara, K. Guruprasad, N. C. Gangu et al. // J. Chrom. B. Anal. Tech. Biomed. Life. Sci. – 2012. – Vol. 891–892. – P. 44–51.
57. Ponnuru V. S. Quantitative analysis of eletriptan in human plasma by HPLC-MS/MS and its application to pharmacokinetic study / V. S. Ponnuru, B. R.Challa, N. Ramarao // Anal. Bioanal. Chem. – 2011. – Vol. 401, № 8. – P. 2539–2548.
58. Method development and validation of almotriptan in human plasma by HPLC tandem mass spectrometry: Application to a Pharmacokinetic Study / K. R. Kumar, R. C. Balasekhara, R. C. Babu // Sci. Pharm. – 2012. – Vol. 80, № 2. – P. 367–78.
59. The use of stable isotope labeling and liquid chromatography/tandem mass spectrometry techniques to study the pharmacokinetics and bioavailability of the antimigraine drug, MK-0462 (rizatriptan) in dogs / A. Barrish, T. V. Olah, G. J. Gatto et al. // Rap. Com. Mass Spectr. – 1996. – Vol. 10. – P.1033–1037.
60. Determination of zolmitriptan in human plasma by HPLC-MS and study on bioequivalence of domestic and important zolmitriptan tablets / J.-S. Ding, R.-H. Zhu, Y.-G. Zhu et al. // Chýn. Pharm. J. – 2006. – Vol. 41. – P. 1488–1490.
61. Quantitation of the 5HT 1D agonists MK-462 and sumatriptan in plasma by liquid chromatography-atmospheric pressure chemical ionization mass spectrometry / D. A. McLaughlin, T. V. Olah, J. D. Ellis // J. Chrom. A. – 1996. – Vol. 726. – P. 115–124.
62. Challenges in the simultaneous quantitation of sumatriptan and naproxen in human plasma: Application to a bioequivalence study / D. P. Patel, P. Sharma, M. Sanyal et al. // J. Chrom. B. – 2012. – Vol. 902. – P. 122–131.
63. Method development and validation for naratriptan determination in human plasma by HPLC with tandem mass spectrometry detection, and its application to bioequivalence study / B. R. Challa, B. Z. Sh. Awen, B. R. Chandu et al. // Braz. J. Pharm. Sci. – 2011. – Vol. 47, № 1. – P. 13–22.
64. A method using a liquid chromatographic mass spectrometric assay for the determination of antimigraine compounds: preliminary pharmacokinetics of MDL74721, sumatriptan and naratriptan in rabbit / B. D. Duléry, M. A. Petty, J. Schoun et al. // J. Pharm. Biomed. Anal. – 1997. – Vol. 15. – P. 1009–1020.
65. Determination of rizatriptan in human plasma by liquid chromatography stable isotope dilution electrospray MS-MS for application in bioequivalence study / M. Ramakotaiah, K. Kanala, R. C. Challa et al. // Chromatog. – 2011. – Vol. 74. – P. 585–592.
66. Determination of zolmitriptan enantiomers in rat liver microsomes by chiral high performance liquid chromatography with fluorescence detection / L. Yu, T. Yao, S. Ni et al. // Býomed. Chrom. – 2005. – Vol. 19. – P. 191–195.
67. High performance liquid chromatographic method for the determination of sumatriptan with fluorescence detection in human plasma / Z. Ge, E. Tessier, L. Neirinck, Z. Zhu // J. Chrom. B. – 2004. – Vol. 806. – P. 299–303.
68. Liquid chromatographic method for the determination of rizatriptan in human plasma / J. Chen, W. Jiang, M. Ni et al. // J. Chrom. B. – 2004. – Vol. 805. – P. 169–173.
69. Franklin M. Determination of sumatriptan succinate in human plasma by highperformance liquid chromatography with coulometric detection and utilization of solid-phase extraction / M. Franklin, J. Odontiadis, E. M. Clement // J. Chrom. B. – 1996. – Vol. 681. – P. 416–420.
70. Dunne M. Fully automated assay for the determination of sumatriptan in human serum using solid-phase extraction and high-performance liquid chromatography with electrochemical detection / M. Dunne, P. Andrew // J. Pharm. Biomed. Anal. – 1996. – Vol. 14. – P. 721–726.
71. Andrew P. D. Determination of sumatriptan succinate in plasma and urine by high-performance liquid chromatography with electrochemical detection / P. D. Andrew, H. L. Birch, D. A. Phillipot // J. Pharm. Sci. – 1993. – Vol. 82, № 1. – P. 73–76.
72. Study of forced degradation behavior of Eletriptan hydrobromide by LC and LC-MS and development of stabilityindicating method / J. Biljana, Z. Mira; Z. Ljiljana et al. // J. Pharm. Biomed. Anal. – 2009. – Vol. 50, № 4. – P. 622–629.

73. A stability indicating LC method for zolmitriptan / B. M. Rao, M. K. Srinivasu, G. Sridhar // J. Pharm. Biomed. Anal. – 2005. – Vol. 39. – P. 503–509.
74. Antonucci V. The reversed-phase liquid chromatographic behaviour of the new 5-HT1D receptor agonist rizatriptan benzoate and its potential process impurities / V. Antonucci, L. Wright, and P. Toma // J. Liq. Chrom. Rel. Techn. – 1998. – Vol. 21. – P. 1649–1670.
75. HPLC method for the enantiomeric purity of eletriptan hydrobromide / A. P. Kumar, V. R. L. Ganesh, K. H. Prasad et al. // Asian J. Chem. – 2011. – Vol. 23, № 4. – P. 1621–1624.
76. Murugan R. A validated chiral HPLC method for the determination of frovatriptan and its enantiomer in drug substance // R. Murugan, S.S.Narayanan // Trade Science Inc. – 2008. – Vol. 7, 9.
77. Two Chromatographic Methods for the Determination of Some Antimigraine Drugs / R. I. El-Bagary, Nashwah G. Mohammed et al. // Anal. Chem. Insights. – 2012. – Vol. 7. – P. 13–21.
78. Bebawy L. I. Stability-indicating methods for the determination of sumatriptan succinate / L. I. Bebawy, A. A. Moustafa, N. F. Abo-Talib // J. Pharm. Biomed. Anal. – 2003. – Vol. 32. – P. 1123–1133.
79. Annapurna M. M. Validated RP-HPLC Method for the determination of zolmitriptan – a serotonin 5-HT receptor agonist / M. M. Annapurna, B. Nanda // J. Pharm. Nutr. Sci. – 2011. – Vol. 1. – P. 9–14.
80. Determination of rizatriptan in human plasma by liquid chromatographic-eletrospray tandem mass spectrometry: Application to a pharmacokinetic study / J. Guo, A.-J. Zhang, L. Zhao et al. // Biomed. Chrom. – 2005. – Vol. 20. – P. 61–66.
81. High-performance liquid chromatographic determination of sumatriptan after in vitro transdermal diffusion studies / A. Femenia-Font, V. Merino, V. Rodilla et al. // J. Pharm. Biomed. Anal. – 2005. – Vol. 37. – P. 621–626.
82. Cózar-Bernal M. J. Development and validation of a high performance chromatographic method for determining sumatriptan in niosomes / M. J. Cázar-Bernal, A. M. Rabasco, M. L. González-Rodríguez // J. Pharm. Biomed. Anal. – 2013. – Vol. 72. – P. 251–260.
83. Development and validation of an LC assay for sumatriptan succinate residues on surfaces in the manufacture of pharmaceuticals / M. J. Nozal, J. L. Bernal, L. Toribio et al. // J. Pharm. Biomed. Anal. – 2002. – Vol. 30. – P. 285–291.
84. An evaporation-free solid-phase extraction method for rapid and accurate analysis of sumatriptan in human plasma by LC-MS/MS / A. Tan, P. Hang, J. Couture et al. // J. Chrom. B. – 2007. – Vol. 856. – P. 9–14.
85. Boulton D. W. Validation and application of a high-performance liquid chromatography/tandem mass spectrometry assay for sumatriptan in human plasma / D. W. Boulton, G. F. Duncan, N. N. Vachharajani // Biomed. Chrom. – 2003. – Vol. 17. – P. 48–52.
86. Validation of a liquid chromatographic tandem mass spectrometric method for the determination of sumatriptan in human biological fluids / K. N. Cheng, M. J. Redrup, A. Barrow et al. // J. Pharm. Biomed. Anal. – 1998. – Vol. 17. – P. 399–408.
87. Oxford J. Development and validation of a liquid chromatographic-mass spectrometric assay for the determination of sumatriptan in plasma / J. Oxford and M. S. Lant // J. Chrom. – 1989. – Vol. 88. – P. 137–146.
88. Xu X. Determination of degradation products of sumatriptan succinate using LC-MS and LC-MS-MS / X. Xu, M. G. Bartlett, J. T. Stewart // J. Pharm. Biomed. Anal. – 2001. – Vol. 26. – P. 367–377.
89. Development of an analytical methodology from toxicokinetic to clinical studies for the anti-migraine drug frovatriptan / L. Laisher, R. Briggs, J. Doughty et al. // Chromatographia. – 2000. – Vol. 52. – P. 113–119.

Анталь Ірина. Хроматографічні методи визначення триптанів: огляд. Узагальнено дані про методи визначення триптанів у різних об'єктах. Серед описаних у літературі методів ідентифікації та кількісного визначення триптанів виділяються передусім різні варіанти хроматографії. Наведено хроматографічні умови, основні хіміко-аналітичні й метрологічні характеристики методик визначення триптанів у фармацевтичних препаратах та біологічних зразках.

Ключові слова: триптани, хроматографічні методи.

Antal Iryna. Chromatographic Methods for the Triptans Determination: Review. Information about the methods of discovering and quality determination of triptans in different object is generalized. They are mainly based on chromatographic techniques. The chromatographic conditions, main chemico-analytical and metrological descriptions of the methods of determination of triptans in pharmaceutical preparations and biological objects are brought.

Key words: Triptans, Chromatography.

Восточноевропейский национальный университет
имени Леси Украинки

Статья поступила в редакцию
20.01.2014 г.